

УДК 532.5

ИССЛЕДОВАНИЕ ПЕРЕНОСА ВЕЩЕСТВА И ТЕПЛА В ПОТОКЕ ЖИДКОСТИ ТРЕТЬЕГО ПОРЯДКА ПРИ ОБТЕКАНИИ ОСЦИЛЛИРУЮЩЕЙ ПОВЕРХНОСТИ

А. Али, С. Саба, С. Асхар*, Д. Н. Хан**

Институт информационных технологий COMSAT, 43600 Атток, Пакистан

* Институт информационных технологий COMSAT, 44000 Исламабад, Пакистан

** Колледж Исламского университета, 25000 Пешавар, Пакистан

E-mails: aamir_ali@ciit-attok.edu.pk, surayyasaba142@gmail.com, sasghar@comsats.edu.pk, dinawazkhan@icp.edu.pk

Представлены результаты исследования переноса тепла и массы при обтекании осциллирующей вертикальной пористой пластины потоком проводящей жидкости третьего порядка при наличии химических реакций. С использованием многопараметрического метода возмущений решаются нелинейные уравнения, описывающие течение жидкости третьего порядка. Проводится сравнение решений, полученных этим методом, с численными решениями, полученными методом параллельной пристрелки. Исследованы зависимости скорости потока, температуры и концентрации вещества от числа Гартмана, параметра всасывания, чисел Прандтля и Шмидта, а также от параметра химической реакции.

Ключевые слова: несжимаемая жидкость, перенос тепла и массы, жидкость третьего порядка, магнитное поле, химическая реакция, пористая пластина.

DOI: 10.15372/PMTF20170604

Введение. Интерес к исследованию задач о течении неньютоновских жидкостей обусловлен тем, что такие жидкости используются в различных отраслях промышленности и технологических процессах (производство полимеров, добыча и переработка нефти, производство волокон, бумаги и т. д.).

Уравнения, описывающие течения неньютоновских жидкостей, являются нелинейными, поэтому математический анализ этих уравнений [1, 2] и их численное решение [3] являются очень сложными задачами.

В последнее время особое внимание уделяется исследованию неньютоновских жидкостей, описываемых моделями Ривлина — Эриксона [4]. Термодинамика и устойчивость движения таких жидкостей изучались в работе [5]. В [6] исследован пульсирующий поток жидкости третьего порядка вблизи бесконечной неподвижной пластины с переменным параметром всасывания, с использованием метода возмущений построено аналитическое решение задачи. Течение жидкостей третьего порядка с различной геометрией потока изучалось во многих работах (см. работы [7–11] и библиографию к ним).

Перенос тепла и массы в потоке возникает вследствие наличия градиента температуры или градиента концентрации вещества либо вследствие наличия обоих градиентов.

Результаты исследований переноса тепла и массы в потоках с различной геометрией содержатся в [12–15].

В данной работе обобщаются результаты работы [11]. Изучается смешанная конвекция тепла и массы в осциллирующем потоке несжимаемой жидкости третьего порядка вблизи неравномерно нагретой вертикальной пористой пластины при постоянном параметре всасывания и при наличии поперечного магнитного поля. Основными уравнениями задачи являются уравнения Навье — Стокса, уравнение теплопроводности и уравнение переноса вещества. Эти уравнения сводятся к системе обыкновенных дифференциальных уравнений, которые затем решаются аналитически с использованием метода возмущений и численно с помощью метода параллельной пристрелки.

Формулировка задачи. Рассматривается неустановившаяся смешанная конвекция в потоке проводящей жидкости третьего порядка вблизи бесконечной вертикальной пористой пластины. Изучается перенос тепла и массы при наличии поперечного магнитного поля и всасывания жидкости пластиной с постоянной скоростью V_0 . Температура и концентрация вещества осциллируют по закону $u_0 \varepsilon e^{i\omega t}$ (ε — малый параметр; ω — частота осцилляций). Используется прямоугольная система координат. Ось x направлена вдоль пластины, ось y — по нормали к ней.

Система дифференциальных уравнений записывается в виде

$$\begin{aligned} \nabla^* \cdot \mathbf{V}^* &= 0, \\ \rho \frac{d\mathbf{V}^*}{dt^*} &= \nabla^* \cdot \mathbf{S}^* + \mathbf{J}^* \times \mathbf{B}^* - \rho \beta_T g (T^* - T_\infty) - \rho \beta_c g (C^* - C_\infty), \\ \rho c_p \frac{dT^*}{dt^*} &= k \nabla^2 T^*, \quad \frac{dC^*}{dt^*} = D \nabla^2 C^* - K C^*, \end{aligned} \quad (1)$$

где \mathbf{V}^* — скорость жидкости; ρ — плотность жидкости; d/dt^* — материальная производная по времени; \mathbf{S}^* — тензор напряжений Коши в жидкости третьего порядка; \mathbf{J}^* — плотность тока; \mathbf{B}^* — вектор магнитного поля; g — ускорение свободного падения; T^* — температура; C^* — концентрация вещества; T_∞ , C_∞ — температура и концентрация вещества в окружающей жидкости соответственно; c_p — удельная теплоемкость; k — теплопроводность материала пластины; D — коэффициент диффузии; индекс “*” соответствует размерным величинам. Предполагается, что вектор скорости имеет вид

$$\mathbf{V}^* = [u^*(y^*, t^*), -V_0, 0]. \quad (2)$$

Тензор напряжений Коши \mathbf{S}^* в жидкости третьего порядка определяется следующим образом:

$$\mathbf{S}^* = -p\mathbf{I} + \mu \mathbf{A}_1^* + \alpha_1 \mathbf{A}_2^* + \alpha_2 \mathbf{A}_1^{*2} + \beta_1 \mathbf{A}_3^* + \beta_2 (\mathbf{A}_1^* \mathbf{A}_2^* + \mathbf{A}_2^* \mathbf{A}_1^*) + \beta_3 (\text{tr } \mathbf{A}_1^{*2}) \mathbf{A}_1.$$

Здесь

$$\begin{aligned} \mathbf{A}_1^* &= (\nabla^* \cdot \mathbf{V}^*) + (\nabla^* \cdot \mathbf{V}^*)^T, \\ \mathbf{A}_i^* &= \frac{d\mathbf{A}_{i-1}^*}{dt^*} + \mathbf{A}_{i-1}^* (\nabla^* \cdot \mathbf{V}^*) + (\nabla^* \cdot \mathbf{V}^*)^T \mathbf{A}_{i-1}^*, \quad i = 1, 2, 3, \end{aligned}$$

α_1 , α_2 , β_1 , β_2 , β_3 — материальные константы; \mathbf{A}_1^* , \mathbf{A}_2^* , \mathbf{A}_3^* — тензоры Ривлина — Эриксона. В соответствии с законами термодинамики должны выполняться условия [9]

$$\mu \geq 0, \quad \alpha_1 \geq 0, \quad \beta_1 = \beta_2 = 0, \quad \beta_3 \geq 0, \quad |\alpha_1 + \alpha_2| \leq \sqrt{24\mu\beta_3}.$$

С учетом этих условий тензор напряжений Коши в жидкости третьего порядка можно представить в виде

$$\mathbf{S}^* = -p\mathbf{I} + \mu \mathbf{A}_1^* + \alpha_1 \mathbf{A}_2^* + \alpha_2 \mathbf{A}_1^{*2} + \beta_3 (\text{tr } \mathbf{A}_1^{*2}) \mathbf{A}_1.$$

С учетом (2) слагаемое $\mathbf{J}^* \times \mathbf{B}^*$ в уравнении движения в (1) записывается следующим образом:

$$\mathbf{J}^* \times \mathbf{B}^* = -\sigma B_0^2 u^* \hat{x}.$$

Таким образом, уравнения (1) в приближении Буссинеска имеют следующий вид:

$$\begin{aligned} \rho \left(\frac{\partial u^*}{\partial t^*} - V_0 \frac{\partial u^*}{\partial y^*} \right) &= \mu \frac{\partial^2 u^*}{\partial y^{*2}} + \alpha_1 \left(\frac{\partial^3 u^*}{\partial y^{*2} \partial t^*} - V_0 \frac{\partial^3 u^*}{\partial y^{*3}} \right) + 6\beta_3 \left(\frac{\partial u^*}{\partial y^*} \right)^2 \frac{\partial^2 u^*}{\partial y^{*2}} - \\ &\quad - \sigma B_0^2 u^* + \rho\beta_0 g(T^* - T_\infty^*) + \rho\beta_c g(C^* - C_\infty^*), \\ \rho c_p \left(\frac{\partial T^*}{\partial t^*} - V_0 \frac{\partial T^*}{\partial y^*} \right) &= k \frac{\partial^2 T^*}{\partial y^{*2}}, \\ \left(\frac{\partial C^*}{\partial t^*} - V_0 \frac{\partial C^*}{\partial y^*} \right) &= D \frac{\partial^2 C^*}{\partial y^{*2}} - KC^*. \end{aligned} \quad (3)$$

Для системы (3) ставятся краевые условия

$$\begin{aligned} y^* = 0, \quad t^* > 0: \quad u^* &= u_0 \varepsilon e^{i\omega^* t^*}, \quad T^* = T_w^* + \varepsilon(T_w^* - T_\infty^*) e^{i\omega^* t^*}, \\ C^* &= C_w^* + \varepsilon(C_w^* - C_\infty^*) e^{i\omega^* t^*}, \\ y^* \rightarrow \infty: \quad u^* &\rightarrow 0, \quad T^* \rightarrow T_\infty^*, \quad C^* \rightarrow C_\infty^*. \end{aligned} \quad (4)$$

Введем следующие безразмерные переменные:

$$u = \frac{u^*}{u_0}, \quad \theta = \frac{T^* - T_\infty^*}{T_w^* - T_\infty^*}, \quad \varphi = \frac{C^* - C_\infty^*}{C_w^* - C_\infty^*}, \quad \eta = \frac{y^* u_0}{\nu}, \quad t = \frac{t^* u_0^2}{\nu}, \quad \omega = \frac{\omega^* \nu}{u_0^2}. \quad (5)$$

В безразмерных переменных (5) уравнения (3) записываются в виде

$$\begin{aligned} \frac{\partial u}{\partial t} - S \frac{\partial u}{\partial \eta} &= \frac{\partial^2 u}{\partial \eta^2} + \alpha \left(\frac{\partial^3 u}{\partial \eta^2 \partial t} - S \frac{\partial^3 u}{\partial \eta^3} \right) + 6\beta \left(\frac{\partial u}{\partial \eta} \right)^2 \frac{\partial^2 u}{\partial \eta^2} - \text{Ha} u + \text{Gr} \theta + \text{Gr}_m \varphi, \\ \frac{\partial \theta}{\partial t} - S \frac{\partial \theta}{\partial \eta} &= \frac{1}{\text{Pr}} \frac{\partial^2 \theta}{\partial \eta^2}, \\ \frac{\partial \varphi}{\partial t} - S \frac{\partial \varphi}{\partial \eta} &= \frac{1}{\text{Sc}} \frac{\partial^2 \varphi}{\partial \eta^2} - \gamma \varphi, \end{aligned} \quad (6)$$

краевые условия (4) — в виде

$$\begin{aligned} \eta = 0, \quad t > 0: \quad u &= \varepsilon e^{i\omega t}, \quad \theta = 1 + \varepsilon e^{i\omega t}, \quad \varphi = 1 + \varepsilon e^{i\omega t}, \\ \eta \rightarrow \infty: \quad u &\rightarrow 0, \quad \theta \rightarrow 0, \quad \varphi \rightarrow 0. \end{aligned} \quad (7)$$

В уравнениях (6) α , β — параметры второго и третьего порядка соответственно; Ha — число Гартмана; Pr — число Прандтля; Sc — число Шмидта; S — параметр всасывания; Gr — число Грасгофа теплопереноса; Gr_m — число Грасгофа массопереноса; γ — параметр химической реакции ($\gamma > 0$ соответствует реакции разложения, $\gamma < 0$ — реакции восстановления):

$$\begin{aligned} \alpha &= \frac{\alpha_1 u_0^2}{\rho \nu^2}, \quad \beta = \frac{\beta_3 u_0^4}{\rho \nu^3}, \quad \text{Ha} = \frac{\sigma B_0^2 \nu}{\rho u_0^2}, \quad \text{Pr} = \frac{\rho \nu c_p}{k}, \quad \text{Sc} = \frac{\rho \nu}{D}, \quad S = \frac{V_0}{u_0}, \\ \text{Gr} &= \frac{g \beta_0 \nu (T_w - T_\infty)}{u_0^3}, \quad \text{Gr}_m = \frac{g \beta_c \nu (C_w - C_\infty)}{u_0^3}, \quad \gamma = \frac{\nu K}{u_0^2}. \end{aligned}$$

Метод решения. Предположим, что уравнения (6) имеют осциллирующие решения следующего вида:

$$\begin{aligned} u(\eta, t) &= f_1(\eta) + \varepsilon f_2(\eta) e^{i\omega t}, & \theta(\eta, t) &= h_1(\eta) + \varepsilon h_2(\eta) e^{i\omega t}, \\ \varphi(\eta, t) &= h_3(\eta) + \varepsilon h_4(\eta) e^{i\omega t}. \end{aligned} \quad (8)$$

Подставляя (8) в уравнения (6) и краевые условия (7), получаем уравнения для стационарных составляющих решения

$$\alpha S f_1''' - f_1'' - S f_1' - 6\beta f_1'^2 f_1'' + \text{Ha} f_1 - \text{Gr} h_1 - \text{Gr}_m h_3 = 0; \quad (9)$$

$$\frac{1}{\text{Pr}} h_1'' + S h_1' = 0, \quad \frac{1}{\text{Sc}} h_3'' + S h_3' - \gamma h_3 = 0 \quad (10)$$

с граничными условиями

$$\begin{aligned} \eta = 0: & \quad f_1 = 0, \quad h_1 = 1, \quad h_3 = 1, \\ \eta \rightarrow \infty: & \quad f_1 \rightarrow 0, \quad h_1 \rightarrow 0, \quad h_3 \rightarrow 0. \end{aligned} \quad (11)$$

Для нестационарных составляющих решений имеем уравнения

$$\begin{aligned} \alpha S f_2''' - (1 + \alpha i\omega) f_2'' - S f_2' - 6\beta f_1'(f_1' f_2'' + 2f_1'' f_2') + \\ + (i\omega + \text{Ha}) f_2 - \text{Gr} h_2 - \text{Gr}_m h_4 = 0; \end{aligned} \quad (12)$$

$$\frac{1}{\text{Pr}} h_2'' + S h_2' - i\omega h_2 = 0, \quad \frac{1}{\text{Sc}} h_4'' + S h_4' - (i\omega + \gamma) h_4 = 0 \quad (13)$$

с краевыми условиями

$$\begin{aligned} \eta = 0: & \quad f_2 = 1, \quad h_2 = 1, \quad h_4 = 1, \\ \eta \rightarrow \infty: & \quad f_2 \rightarrow 0, \quad h_2 \rightarrow 0, \quad h_4 \rightarrow 0. \end{aligned} \quad (14)$$

Точные решения уравнений (10), (13) с краевыми условиями (11), (14) записываются в виде

$$h_1(\eta) = e^{-S \text{Pr} \eta}, \quad h_2(\eta) = e^{-P_1 \eta}, \quad h_3(\eta) = e^{-P_2 \eta}, \quad h_4(\eta) = e^{-P_3 \eta},$$

где

$$\begin{aligned} P_1 &= [S \text{Pr} + \sqrt{(S \text{Pr})^2 + 4i\omega \text{Pr}}]/2, & P_2 &= [S \text{Sc} + \sqrt{(S \text{Sc})^2 + 4\gamma \text{Sc}}]/2, \\ P_3 &= [S \text{Sc} + \sqrt{(S \text{Sc})^2 + 4(i\omega + \gamma) \text{Sc}}]/2. \end{aligned}$$

В выражениях для скорости параметры α , β полагаются малыми. Функции $f_1(\eta)$ и $f_2(\eta)$ представим в следующем виде:

$$\begin{aligned} f_1(\eta) &= f_{100} + \alpha f_{101} + \beta f_{111} + O(\alpha\beta) + O(\alpha^2) + O(\beta^2), \\ f_2(\eta) &= f_{200} + \alpha f_{201} + \beta f_{211} + O(\alpha\beta) + O(\alpha^2) + O(\beta^2). \end{aligned} \quad (15)$$

Подставляя (15) в уравнения (9), (12), для функции f_1 получаем систему уравнений

$$\begin{aligned} f_{100}'' + S f_{100}' - \text{Ha} f_{100} + \text{Gr} h_1 + \text{Gr}_m h_3 = 0, \\ f_{101}'' + S f_{101}' - \text{Ha} f_{101} = S f_{100}''', \quad f_{111}'' + S f_{111}' - \text{Ha} f_{111} = -6(f_{100}')^2 f_{100}'' \end{aligned} \quad (16)$$

с краевыми условиями

$$\eta = 0: \quad f_{100} = f_{101} = f_{111} = 0, \quad \lim_{\eta \rightarrow \infty} f_{100} = \lim_{\eta \rightarrow \infty} f_{101} = \lim_{\eta \rightarrow \infty} f_{111} = 0, \quad (17)$$

для функции f_2 — систему уравнений

$$\begin{aligned} f''_{200} + S f'_{200} - (i\omega + \text{Ha}) f_{200} + \text{Gr} h_2 + \text{Gr}_m h_4 &= 0, \\ f''_{201} + S f'_{201} - (i\omega + \text{Ha}) f_{201} &= S f'''_{200} - i\omega f''_{200}, \\ f''_{211} + S f'_{211} - (i\omega + \text{Ha}) f_{211} &= -6 f'_{100} (f'_{100} f''_{200} + 2 f''_{100} f'_{200}) \end{aligned} \quad (18)$$

с краевыми условиями

$$\eta = 0: \quad f_{200} = 1, \quad f_{201} = f_{211} = 0, \quad \lim_{\eta \rightarrow \infty} f_{200} = \lim_{\eta \rightarrow \infty} f_{201} = \lim_{\eta \rightarrow \infty} f_{211} = 0. \quad (19)$$

Для дифференциальных уравнений (16), (18) с краевыми условиями (17), (19) можно записать точные решения и, следовательно, получить аналитические выражения для скорости.

Результаты исследования и их обсуждение. На рис. 1–8 приведены зависимости действительных частей скорости, температуры и концентрации от координаты η при $t = \pi/(2\omega)$, $\varepsilon = 0,1$, $\omega = 2,5$.

На рис. 1 приведены зависимости $\text{Re}(u(\eta))$ при различных значениях параметра α , построенные с использованием аналитического и численного решений. Видно, что с увеличением параметра α скорость уменьшается. При больших значениях параметра α влияние интенсивности всасывания на скорость становится более существенным, вследствие чего возникает обратное течение.

На рис. 2 приведены зависимости $\text{Re}(u(\eta))$ при различных значениях параметра β , построенные с использованием аналитического и численного решений. Из приведенных зависимостей следует, что с увеличением параметра β скорость уменьшается. Однако при $\eta > 0,6$ параметр β оказывает незначительное влияние на скорость.

На рис. 3, 4 соответственно приведены зависимости $\text{Re}(u(\eta))$ при различных значениях чисел Прандтля и Грасгофа. Видно, что с увеличением числа Прандтля скорость уменьшается. От числа Прандтля существенно зависит интенсивность теплопереноса,

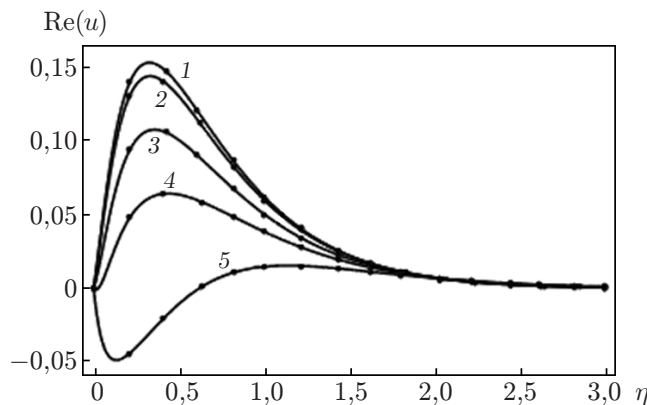


Рис. 1

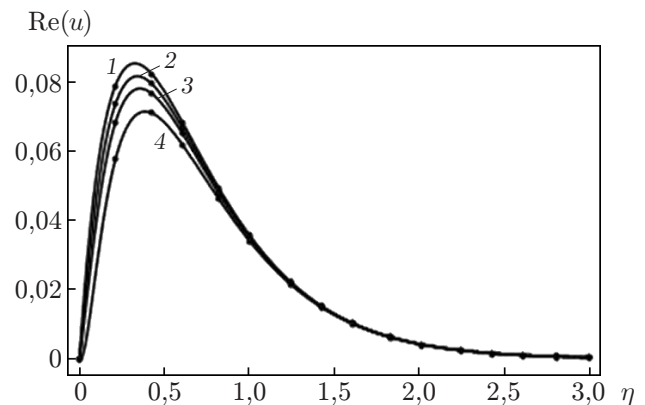


Рис. 2

Рис. 1. Зависимость $\text{Re}(u(\eta))$ при $\text{Gr} = 6$, $\text{Gr}_m = 4$, $\beta = 0,1$, $\text{Ha} = 3$, $\text{Pr} = 7$, $\text{Sc} = 3$, $S = \gamma = 1$ и различных значениях параметра α :

точки — численное решение, линии — аналитическое решение; 1 — $\alpha = 0$, 2 — $\alpha = 0,01$, 3 — $\alpha = 0,05$, 4 — $\alpha = 0,10$, 5 — $\alpha = 0,20$

Рис. 2. Зависимость $\text{Re}(u(\eta))$ при $\text{Gr} = 2$, $\text{Gr}_m = 4$, $\alpha = 0,05$, $\text{Ha} = 4$, $\text{Pr} = 8$, $\text{Sc} = 3$, $S = \gamma = 1$ и различных значениях параметра β :

точки — численное решение, линии — аналитическое решение; 1 — $\beta = 0$, 2 — $\beta = 0,1$, 3 — $\beta = 0,2$, 4 — $\beta = 0,4$

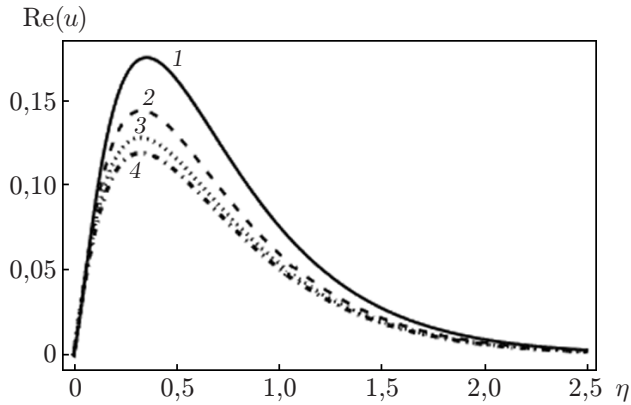


Рис. 3

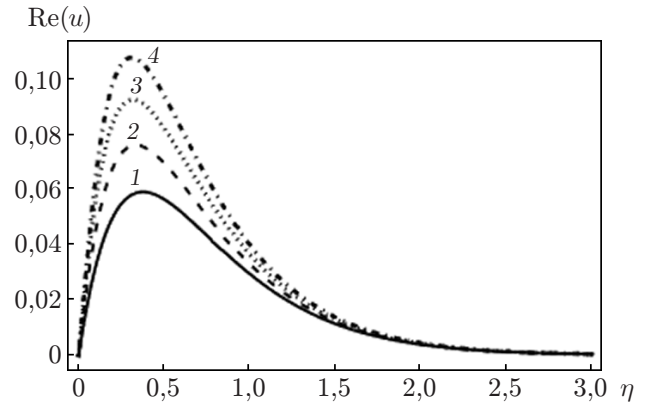


Рис. 4

Рис. 3. Зависимость $\text{Re}(u(\eta))$ при $\text{Gr} = 6$, $\text{Gr}_m = 4$, $\beta = 0,1$, $\text{Na} = 3$, $\text{Pr} = 7$, $\text{Sc} = 3$, $S = 1$ и различных значениях числа Прандтля:
 1 — $\text{Pr} = 5$, 2 — $\text{Pr} = 7$, 3 — $\text{Pr} = 9$, 4 — $\text{Pr} = 11$

Рис. 4. Зависимость $\text{Re}(u(\eta))$ при $\text{Gr}_m = 4$, $\alpha = 0,01$, $\beta = 0,1$, $\text{Na} = 4$, $\text{Pr} = 3$, $\text{Sc} = 2$, $S = 1$ и различных значениях числа Грасгофа:
 1 — $\text{Gr} = 0$, 2 — $\text{Gr} = 2$, 3 — $\text{Gr} = 4$, 4 — $\text{Gr} = 6$

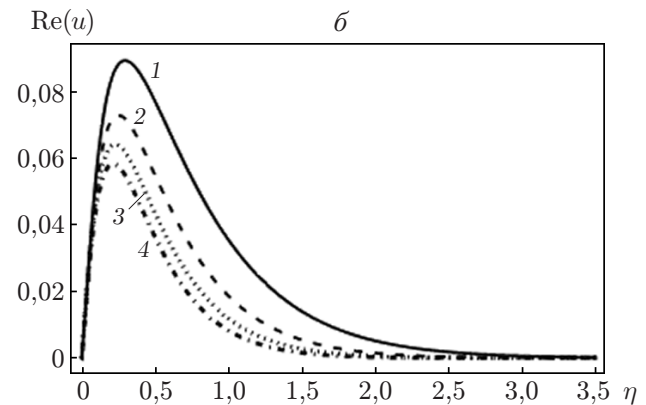
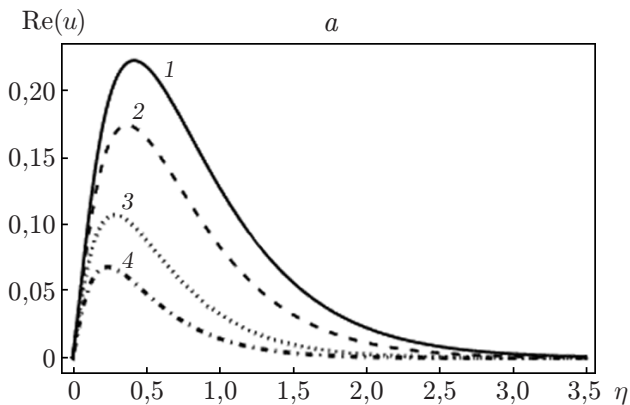


Рис. 5. Зависимости скорости от координаты η при $\text{Gr} = 3$, $\text{Gr}_m = 5$, $\alpha = 0,01$, $\beta = 0,1$, $\text{Pr} = 3$, $\text{Sc} = 4$ и различных значениях параметра всасывания S и числа Гартмана Na :

a — $\text{Na} = 3$ (1 — $S = 0,8$, 2 — $S = 1,0$, 3 — $S = 1,5$, 4 — $S = 2,0$), b — $S = 2$ (1 — $\text{Na} = 0$, 2 — $\text{Na} = 2$, 3 — $\text{Na} = 4$, 4 — $\text{Na} = 6$)

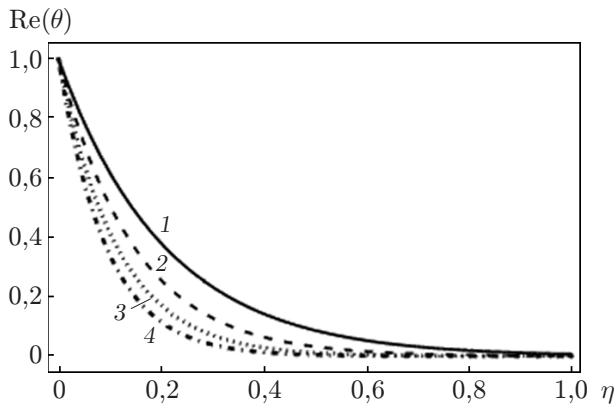


Рис. 6

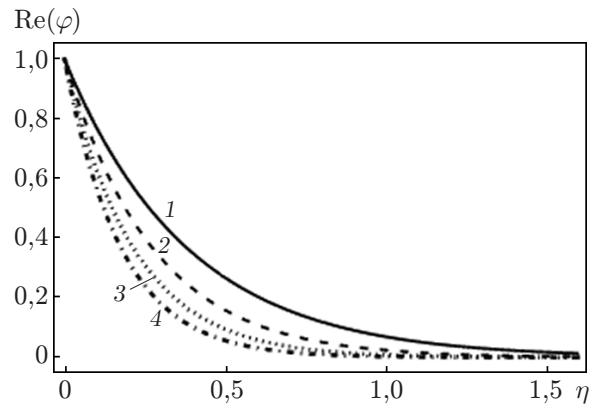


Рис. 7

Рис. 6. Зависимость температуры от координаты η при $t = \pi/(2\omega)$, $\omega = 2,5$, $\varepsilon = 0,1$, $S = 1$, $\gamma = 1$ и различных значениях числа Прандтля:

1 — $Pr = 5$, 2 — $Pr = 7$, 3 — $Pr = 9$, 4 — $Pr = 11$

Рис. 7. Зависимость концентрации от координаты η при $t = \pi/(2\omega)$, $\omega = 2,5$, $\varepsilon = 0,1$, $S = 1$, $\gamma = 1$ и различных значениях числа Шмидта:

1 — $Sc = 2$, 2 — $Sc = 3$, 3 — $Sc = 4$, 4 — $Sc = 5$

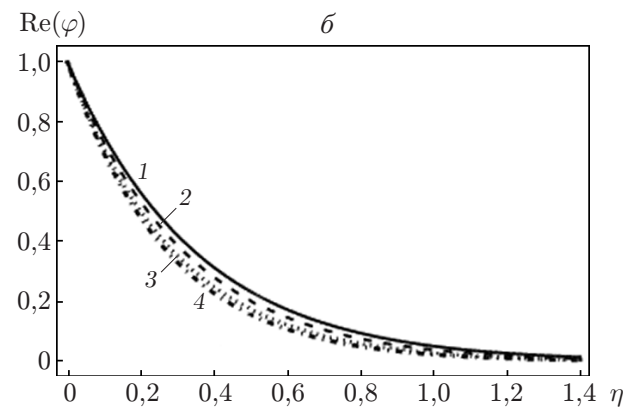
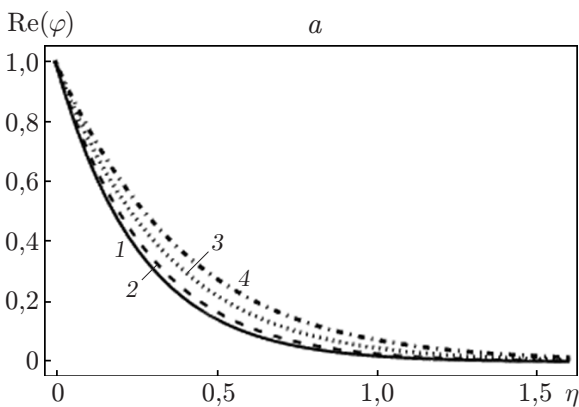


Рис. 8. Зависимость концентрации от координаты η при $t = \pi/(2\omega)$, $\omega = 2,5$, $\varepsilon = 0,1$, $S = 1$ и различных значениях параметра химической реакции γ :

a — $Sc = 4$, $\gamma \leq 0$ (1 — $\gamma = 0$, 2 — $\gamma = -0,3$, 3 — $\gamma = -0,7$, 4 — $\gamma = -1,0$), б — $Sc = 3$, $\gamma \geq 0$ (1 — $\gamma = 0$, 2 — $\gamma = 0,3$, 3 — $\gamma = 0,7$, 4 — $\gamma = 1,0$)

а также толщина гидродинамического и теплового пограничных слоев. С увеличением числа Прандтля увеличивается кинематическая вязкость, вследствие чего уменьшается скорость. С увеличением числа Грасгофа скорость жидкости увеличивается.

На рис. 5 приведены зависимости скорости от координаты η при различных значениях параметра всасывания S и числа Гартмана Na . Видно, что с увеличением параметра S скорость и толщина пограничного слоя уменьшаются, с увеличением числа Гартмана Na скорость также уменьшается.

На рис. 6 приведена зависимость температуры от координаты η при различных значениях числа Прандтля Pr . С увеличением числа Прандтля температура уменьшается. Это объясняется тем, что увеличение числа Прандтля эквивалентно уменьшению теплопроводности, от которой зависит скорость переноса тепла.

На рис. 7 приведена зависимость концентрации от координаты η при различных значениях числа Шмидта Sc . Концентрация уменьшается с увеличением числа Шмидта Sc . Число Шмидта представляет собой отношение параметра, характеризующего диффузию количества движения, к коэффициенту диффузии вещества и описывает диффузию вещества, аналогично тому как число Прандтля описывает диффузию тепла.

На рис. 8 показана зависимость концентрации от координаты η при различных значениях параметра химической реакции γ . Концентрация жидкости увеличивается с увеличением γ в случае реакций восстановления и уменьшается в случае реакций разложения. При этом влияние параметра γ на концентрацию в случае реакций восстановления больше, чем в случае реакций разложения. При наличии реакций разложения толщина пограничного слоя уменьшается.

Заключение. В работе приведены результаты исследования смешанной конвекции в потоке жидкости третьего порядка вблизи осциллирующей вертикальной пористой пластины при наличии поперечного магнитного поля. С использованием многопараметрического метода возмущений построено аналитическое решение задачи. Проведено сравнение аналитического и численного решений.

Получены следующие основные результаты. С увеличением параметров α , β скорость уменьшается. При больших значениях параметра α возникает обратное течение. Скорость увеличивается с увеличением числа Грасгофа Gr и уменьшается с увеличением числа Прандтля Pr , параметра всасывания S и числа Гартмана Na . С увеличением чисел Прандтля Pr и Шмидта Sc температура и концентрация уменьшаются. При наличии реакции восстановления концентрация вещества увеличивается, при наличии реакции разложения — уменьшается.

ЛИТЕРАТУРА

1. **Larson R. G.** The structure and rheology of complex fluids. N. Y.; Oxford: Oxford Univ. Press, 1999.
2. **Constantin P.** Remarks on complex fluid models // Mathematical aspects of fluid mechanics. Cambridge: Cambridge Univ. Press, 2012. V. 402. P. 70–87.
3. **Renardy M.** Mathematical analysis of viscoelastic flows. Philadelphia: SIAM, 2000. (CBMS-NSF Region. conf. ser. appl. math.; V. 73).
4. **Numerical methods for non-Newtonian fluids** / Ed. by R. Glowinski, J. Xu. Oxford: Elsevier, 2011. (Handbook of numerical analysis; V. 16).
5. **Fosdick K. L., Rajagopal K. R.** Thermodynamics and stability of fluids of third grade // Proc. Roy. Soc. London. Ser. A. 1980. V. 369. P. 351–377.
6. **Hayat T., Nadeem S., Pudasaini S. P., Asghar S.** Fluctuating flow of a third order fluid past an infinite plate with variable suction // Arch. Mech. 2003. V. 55, N 3. P. 305–324.

7. **Rajagopal K. R., Na T. Y.** On Stokes problem for a non-Newtonian fluid // *Acta Mech.* 1983. V. 48, N 3. P. 233–239.
8. **Siddiqui A. M., Kaloni P. N.** Plane steady flows of a third grade fluid // *Intern. J. Engng Sci.* 1987. V. 25, N 2. P. 171–188.
9. **Akyildiz F. T.** A note on the flow of a non-Newtonian fluid film // *Intern. J. Non-linear Mech.* 1988. V. 33, N 6. P. 1061–1067.
10. **Abbasbandy S., Hayat T., Ellahi R., Asghar S.** Numerical results of a flow in a third grade fluid between two porous walls // *Z. Naturforsch.* 2009. Bd 64. S. 59–64.
11. **Hayat T., Shafiq A., Alsaedi A.** MHD axisymmetric flow of a third grade fluid by a stretching cylinder // *Alexandria Engng J.* 2015. V. 54, N 2. P. 205–212.
12. **Hossain M. A., Mondal A. C.** Effects of mass transfer and free convection on the unsteady MHD flow past a vertical porous plate with constant suction // *Intern. J. Energy Res.* 1986. V. 10, N 4. P. 409–416.
13. **Baoku I. G., Olajuwon B. I., Mustapha A. O.** Heat and mass transfer on a MHD third grade fluid with partial slip flow past an infinite vertical insulated porous plate in a porous medium // *Intern. J. Heat Fluid Flow.* 2013. V. 40. P. 81–88.
14. **Abbasi F. M., Alsaedi A., Hayat T.** Mixed convective heat and mass transfer analysis for peristaltic transport in an asymmetric channel with Soret and Dufour effects // *J. Central South Univ.* 2014. V. 21, N 12. P. 4585–4591.
15. **Rosca A. V., Rosca N. C., Pop I.** Mixed convection heat and mass transfer from a vertical surface embedded in a porous medium // *Trans. Porous Media.* 2015. V. 109, N 2. P. 279–295.

*Поступила в редакцию 18/VIII 2016 г.,
в окончательном варианте — 14/XI 2016 г.*
